

京都大学防災研究所

京都大学大学院

正会員

高橋 保

学生員

八木秀樹

〃

〃

古 浩史

1. はじめに；土砂災害地を調査してみると、比較的細かい砂礫が大量に流出して、家屋等を埋没している例が多い。このような現象は巨礫が大量に含まれている土石流と区別して土砂流と呼ばれているが、その流動特性や流砂量式等はよくわかっていない。本研究はこのような土砂流の諸特性を明らかにすることを目的としている。

2. 土砂流の定義；土石流でも掃流・浮流でもない土砂流が土砂水理学的に定義できるかどうかが問題であるが、高橋は各種土砂移動形態の発生領域を図-1のように与えている。ここで各領域の境界線は(1)：移動限界，(2)掃流砂を無視した場合の掃流状集合流動の発生限界，(3)：土石流発生限界等である。したがって、土砂流の水理学的な定義としては、現実の土砂流が勾配 γ/d 程度以上で生じていることも考慮して、図の一点鉛線より右側で生ずる掃流状集合流動と同義であるとするのが適当であろう。境界線(2)は $\gamma/d = (C_d - 1)/(\gamma/\rho - 1)$ である。ただし、 C_d ：堆積層の粒子濃度、 $C_{d0} = \rho \tan \theta / (\gamma - \rho) (\tan \phi - \tan \theta)$ ～(2)、 γ ：水深、 d ：粒径、 ρ ：勾配、 ϕ ：堆積層の内部摩擦角、 ρ ：粒子密度、 ρ ：水の密度である。(1)式は掃流砂を無視して得られたが、掃流砂層の濃度を C_b 、厚さを h_b として、その影響を考慮すると、 $\gamma/d = (C_b/C_{d0} - 1) + (C_b/C_{d0})(h_b/d)$ ～(3) のようになり、掃流砂量式を適用するより図中の(2)曲線のようになる。土砂流の境界線としては(2)よりも(3)の方が適当である。

3. 流動機構；(2)曲線より右側の領域では、同一水深で移動する粒子層の厚さが勾配が大きくなるほど大きくなり、境界線(3)を示す $\tan \theta = C_d(\gamma - \rho) \tan \phi / (C_d(\gamma - \rho) + 2.4\rho^2)$ ～(4) が満足されるよう勾配以上では、粒子移動層が全水深に分散して土石流となる。したがって、土砂流の流動形態は図-2のように、粒子流動層とその上の水流の層が比較的明瞭に分れており、粒子流動層内では土石流の場合と同様に集合流動となつてゐるのが特徴である。図-2を参照して、河床面に作用するせん断力を求めると、 $T_c = (\gamma - \rho) C_{d0} g \sin \theta + \rho g h_b \sin \theta$ ～(5) であり、平衡状態にあれば、それは粒子流動層内の粒子同士の接触によって受けもたらされたせん断力と、流動粒子間の流体の流れによつて受けもたらされたせん断力の和と均衡している。平衡状態では、流体の受けもつせん断力は河床粒子の限界掃流力を等しいから、次式が成立す。 $h_b/d = T_c / (\gamma - \rho) C_{d0} g \sin \theta \tan \phi + T_c$ ～(6)。土石流では、 $\gamma = \rho_d$ 、 $T_c \neq 0$ が成立し、(5)、(6) 式から土砂濃度を表わす式が導かれる。(2)式は日が小さくなると C_{d0} が小さくなることを示しているが、土石流発生限界勾配における濃度 C_{d0} よりも小さくなければ、せん断力は全流動層にわたって分散することになります。 C_{d0} の濃度を保持しながら粒子流動層の厚さ h_b が小さくなつていくものと考えられる。(2)式に(6)式を入れて、 $C_{d0} = 0.42 C_b$ ～(7) が得られる。以上から次の関係が導かれる。 $\rho_d/h_b = (C_{d0}/C_b)(1 - T_c/C_b)$ ～(8)。図-3は $d = 0.114\text{ cm}$ の均一粒径材料を用いた実験によつて、(8)式の妥当性を調べた結果である。ただし、 $C_b = 0.65$ 、 $\tan \phi = 0.8$ 、 $T_c = 0.05$ 、 $\gamma = 2.619\text{ cm}^3/\text{cm}^3$ 、 $\rho = 1.0\text{ g/cm}^3$ としている。勾配が小さいときに、おそらく掃流の影響が重要となるため、少し h_b が大きめになつていいが、ほぼ(8)式は成立していい。

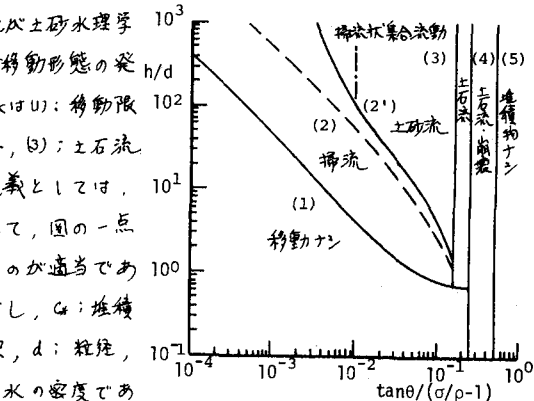


図-1 土砂流の存在領域

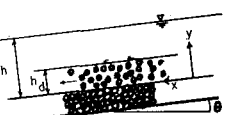


図-2 土砂流の流動形態

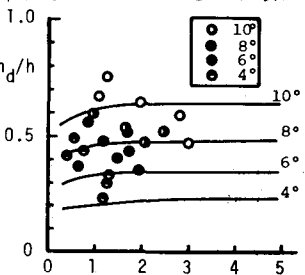


図-3 粒子流動層の厚さ

$\rho_d/h_b = (C_{d0}/C_b)(1 - T_c/C_b)$ ～(8)。図-3は $d = 0.114\text{ cm}$ の均一粒径材料を用いた実験によつて、(8)式の妥当性を調べた結果である。ただし、 $C_b = 0.65$ 、 $\tan \phi = 0.8$ 、 $T_c = 0.05$ 、 $\gamma = 2.619\text{ cm}^3/\text{cm}^3$ 、 $\rho = 1.0\text{ g/cm}^3$ としている。勾配が小さいときに、おそらく掃流の影響が重要となるため、少し h_b が大きめになつていいが、ほぼ(8)式は成立していい。

4. 流速分布：粒子流動層にダイラタント流体モデルを適用すると、 $y = h_d$ かつ $y > h_d$ に対して、式が得られる。 y/d

$$Q_d \cdot \rho (\lambda d)^2 \left(\frac{du}{dy} \right)^2 \sin \theta + \rho l^2 \left(\frac{du}{dy} \right)^2 = \{(P-P)C_{dc}(h_d-y)\} + P(y-y) \{g \sin \theta \} \quad \dots (9)$$

$\rho l^2 \left(\frac{du}{dy} \right)^2 = Pg(h-y) \sin \theta \quad \dots (10)$ が成立する。ただし、

$Q_d \cdot \lambda d = 0.02$, $\lambda = \left\{ \left(\frac{h}{h_d} \right)^{\frac{1}{2}} - 1 \right\}$, l : 粒子間空隙における流体混合距離, l' : 水流層の混合距離, u : 流速である。

$l = l' d / \lambda$ (K_s 定数), $l' = (K_s \lambda) d + K_s (y-h_d)$, K_s : カルマン定数, と仮定すると、(9), (10) 式から流速分布式として、式が得られる。

$$\frac{u}{u_*} = \frac{2}{3} \frac{P}{d} \left[\left(\frac{P-P}{\rho \lambda^2 d^2 + \lambda^2} \right) \left(\frac{P-P}{\rho C_{dc} l^2} + 1 \right)^{\frac{3}{2}} - \left(\frac{P-P}{\rho C_{dc} l^2} + 1 \right) \frac{y}{h} \right] \quad \dots (11)$$

$$\frac{u}{u_*} = \frac{u_d}{u_*} + \frac{2}{K_s} \left\{ \left(1 - \frac{y}{h} \right)^{\frac{1}{2}} - \left(1 - \frac{y}{h} \right)^{\frac{1}{2}} - \frac{1}{K_s} \left(\frac{d}{h} \frac{K_s}{\lambda} + 1 - \frac{y}{h} \right)^{\frac{1}{2}} \ln \left| \frac{\left(1 - \frac{y}{h} \right)^{\frac{1}{2}} + \left(\frac{d}{h} \frac{K_s}{\lambda} + 1 - \frac{y}{h} \right)^{\frac{1}{2}}}{\left(1 - \frac{y}{h} \right)^{\frac{1}{2}} - \left(\frac{d}{h} \frac{K_s}{\lambda} + 1 - \frac{y}{h} \right)^{\frac{1}{2}}} \right\} \right\} \quad \dots (12)$$

が得られる。ここに、 u_d は(11)式において $y = h_d$ としたときの u の値である。図-4 に実験値と $K_s=3$, $K=0.4$ とした理論流速分布を比較している。ほぼ良好な結果である。ただし、白丸は中立粒子、黒丸は砂粒子の流速を示す。

5. 流砂量式：(11) 式からよく h_d における平均流速を求めて、これに 100

度あたり ρC_{dc} を乗じると流砂量 q_s が求まる。 $q_{s*} = q_s / u_d h_d$ と書くと、 q_{s*}

$$q_{s*} = \frac{2}{3} \left(\frac{P}{d} \right)^2 \frac{C_{dc} \left(1 - \frac{T_c}{T} \right)}{\left(\frac{P-P}{\rho \lambda^2 d^2 + \lambda^2} \right) \left(\frac{P-P}{\rho C_{dc} l^2} + 1 \right)^{\frac{3}{2}}} \left[\left(\frac{P-P}{\rho C_{dc} l^2} + 1 \right)^{\frac{3}{2}} + \frac{2}{5} \frac{1}{h_d} \left(\frac{P-P}{\rho C_{dc} l^2} + 1 \right)^{\frac{1}{2}} \left(1 - \frac{y}{h} \right)^{\frac{1}{2}} - \frac{1}{5} \frac{1}{h_d} \left(\frac{P-P}{\rho C_{dc} l^2} + 1 \right)^{\frac{1}{2}} \right] \quad \dots (13)$$

のようになる。この式はかなり複雑であるが、 P/d の変化範囲が $0 \sim 1$ であること、現実の土砂流では $(P-P)/P$ の変化範囲が $0.25 \sim 0.55$ 程度であることを考慮すると、十分な精度で簡単化されて、

$$q_{s*} = \frac{2}{3} \frac{(4.2-0.75 C_{dc})}{\cos^2 \theta (\tan \phi - \tan \theta)^2} T_c^2 \left(1 - \frac{T_c}{T} \right)^2 \quad \dots (14)$$

のようになる。図-5 は著者らによる水山²⁾の実験結果によつて(14)式の適合性を検討したものである。よく合っていると言えよう。

図-5 には図-1 から求められる静流砂量式の適用限界のよりも小さい側の範囲について、芦田・高橋・水山の端流砂量式³⁾を実線で示し、それ以上の T_c について(14)式を実線で示している。両者は厳密には連続していないが、接続性は良好である。

6. 抵抗則：上部の水流の層についても(11)式から平均流速を求め、上下

層の平均流速をさし各層の厚さを用いて加重平均することによって、 u/u_* 全流動層の平均流速を求めることができる。その結果は複雑な式となる

が、やはり現実の土砂流で出現するであろう y/d の範囲を重視すれば、十分の精度で $U/u_* = (0.23 + 0.65 \tan \theta) y/d \quad \dots (15)$ のように書くことができる。

図-6 は(15)式と実験値とを比較したのである。なお、図中にには、upper regime の端流砂に対して成立する $U/u_* = 6.0 + 5.75 \log \frac{T_c}{2(1+2T_c)}$ の関係を破線で示している。土砂流の抵抗が大きいことわかる。

7. おわりに：本研究では土砂流の水理学的な意義を明るかにし、その

流速分布式、流砂量式、抵抗則等を明らかにした。応用例については別

の機会に述べるつもりである。

参考文献；1) 高橋；1980年水工学シリーズ A, pp.1-17. 2) 水山：新砂防116, pp.1-6. 3) 芦田・高橋・水山：新砂防107, pp.9-17.

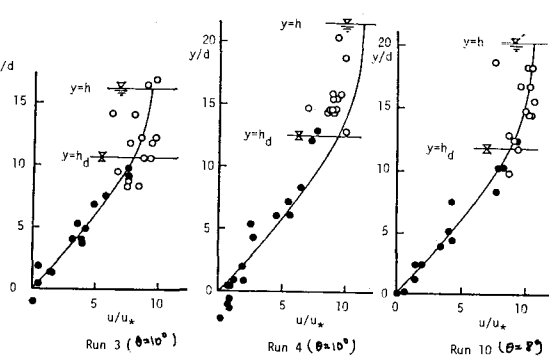


図-4 流速分布の測定結果と理論値の比較

5. 流砂量式：(11) 式からよく h_d における平均流速を求めて、これに 100

度あたり ρC_{dc} を乗じると流砂量 q_s が求まる。 $q_{s*} = q_s / u_d h_d$ と書くと、 q_{s*}

$$q_{s*} = \frac{2}{3} \left(\frac{P}{d} \right)^2 \frac{C_{dc} \left(1 - \frac{T_c}{T} \right)}{\left(\frac{P-P}{\rho \lambda^2 d^2 + \lambda^2} \right) \left(\frac{P-P}{\rho C_{dc} l^2} + 1 \right)^{\frac{3}{2}}} \left[\left(\frac{P-P}{\rho C_{dc} l^2} + 1 \right)^{\frac{3}{2}} + \frac{2}{5} \frac{1}{h_d} \left(\frac{P-P}{\rho C_{dc} l^2} + 1 \right)^{\frac{1}{2}} \left(1 - \frac{y}{h} \right)^{\frac{1}{2}} - \frac{1}{5} \frac{1}{h_d} \left(\frac{P-P}{\rho C_{dc} l^2} + 1 \right)^{\frac{1}{2}} \right] \quad \dots (13)$$

のようになる。この式はかなり複雑であるが、 P/d の変化範囲が $0 \sim 1$ であること、現実の土砂流では $(P-P)/P$ の変化範囲が $0.25 \sim 0.55$ 程度であることを考慮すると、十分な精度で簡単化されて、

$$q_{s*} = \frac{2}{3} \frac{(4.2-0.75 C_{dc})}{\cos^2 \theta (\tan \phi - \tan \theta)^2} T_c^2 \left(1 - \frac{T_c}{T} \right)^2 \quad \dots (14)$$

のようになる。図-5 は著者らによる水山²⁾の実験結果によつて(14)式の適合性を検討したものである。よく合っていると言えよう。

図-5 には図-1 から求められる静流砂量式の適用限界のよりも小さい側の範囲について、芦田・高橋・水山の端流砂量式³⁾を実線で示し、それ以上の T_c について(14)式を実線で示している。両者は厳密には連続していないが、接続性は良好である。

6. 抵抗則：上部の水流の層についても(11)式から平均流速を求め、上下

層の平均流速をさし各層の厚さを用いて加重平均することによって、 u/u_* 全流動層の平均流速を求めることができる。その結果は複雑な式となる

が、やはり現実の土砂流で出現するであろう y/d の範囲を重視すれば、十分の精度で $U/u_* = (0.23 + 0.65 \tan \theta) y/d \quad \dots (15)$ のように書くことができる。

図-6 は(15)式と実験値とを比較したのである。なお、図中にには、upper regime の端流砂に対して成立する $U/u_* = 6.0 + 5.75 \log \frac{T_c}{2(1+2T_c)}$ の関係を破線で示している。土砂流の抵抗が大きいことわかる。

7. おわりに：本研究では土砂流の水理学的な意義を明るかにし、その

流速分布式、流砂量式、抵抗則等を明らかにした。応用例については別

の機会に述べるつもりである。

参考文献；1) 高橋；1980年水工学シリーズ A, pp.1-17. 2) 水山：新砂防116, pp.1-6. 3) 芦田・高橋・水山：新砂防107, pp.9-17.